

FYSIKÁLNÍ VLASTNOSTI RADIOAKTIVNÍCH ISOTOPTŮ POUŽÍVANÝCH V TECHNICKÉ PRAXI

VÁCLAV PETRŽÍLKA

K PADESÁTINAM AKADEMIIA DIONYZA ILKOVICÉ

V technické praxi se dnes velmi rychle rozšiřuje používání radioaktivních isotopů pro defektoskopii, k sledování metalurgických pochodů, k určování opotřebení součástí strojů a k řadě jiných úkolů. Zatím co do nedávna stanovení cházely v úvalu pro tyto účely jen přírodní radioaktivní látky, jako radium, radon nebo mesothorium, poskytuje rychlý vývoj různých konstrukcí uranových reaktorů se značným výkonom možnost získat pro řešení uvedených a levnější než radioaktivní isotypy přírodní.

Při výběru příslušného radioaktivního isotypu pro jeho určité použití v technické praxi jde především o to, posoudit jeho vhodnost k tomuto účelu. Pro posouzení této vhodnosti jsou rozhodující tři veličiny, charakterisující každý radioisotop. Je to *poločas* jeho rozpadu, *energie* jeho záření a jeho *aktivita*, případně specifická aktivita.

První z nich, *poločas*, udává dobu, za kterou se polovina atomů určitého množství použitého radioisotopu samovolně rozpadne, čili rychlosť, s jakou vzhledem k jeho aktivitě. S hlediska použití radioisotopů jsou ve většině případů mohou být žádoucí i radioisotopy s krátkým poločasem.¹

Druhá z nich je *energie* vysílaného záření, která se obvykle vyjadřuje v jed-

¹ Poločas se udává v sekundách, minutách, hodinách a ročích, podle jeho délky.

² Podle definice je 1 MeV hodnota energie, kterou získá částice s jedním elementárním nábojem $e_0 = 4,803 \cdot 10^{-10}$ abs. elektrostat. jednotek = $1,602 \cdot 10^{-19}$ coulombů, prostřednictvím elektrickým polem s rozdílem potenciálu 1 MV (jednoho milionu voltů). Ponevadž $1 \text{ MV} = \frac{10^6}{300}$ abs. elektrostat. jednotek je $1 \text{ MeV} = 1,602 \cdot 10^{-6}$ ergů = $1,602 \cdot 10^{-13}$ joulu = $1,633 \cdot 10^{-14}$ kgm = $3,825 \cdot 10^{-14}$ cal = $4,444 \cdot 10^{-20}$ kWh.

Tabuľka 1

Zdroj	Položka	Záření beta	Záření gama			1 mC dává ve vzdálenosti 1 m dávku	Vrstva polovin- kového materiálu jící aktivačnou dosegu	Rozměry zdrojů			Relativní aktivační doba	Optimál. obor použití		
			Energie	Energie	Vzdá- lava délka V			ø 2 × 2 mm $V = 3,14 \text{ mm}^3$	ø 4 × 4 mm $V = 50,28 \text{ mm}^3$	ø 6 × 6 mm $V = 169,62 \text{ mm}^3$				
			MeV	MeV	%			1/2	1/10	specifická aktivita				
88 Radium Ra	1580 roků			0,241 0,352 0,610 1,129 1,244 1,778 2,220	0,0513 0,0353 0,0203 0,0109 0,0099 0,0069 0,0056	1 mg Ra					zdroje ve tvaru kuličky nebo válečku asi 1,6 mg/mm³ (RaSO₄)	ocel 50–200 mm		
				0,241 0,352 0,610 1,129 1,244 1,778 2,220	0,0513 0,0315 0,0203 0,0109 0,0099 0,0069 0,0056	1 mC 0,84 mr/hod	13	43						
86 Radon Rn	3,83 dní			0,241 0,352 0,610 1,129 1,244 1,778 2,220	0,0513 0,0315 0,0203 0,0109 0,0099 0,0069 0,0056	1 mC 0,84 mr/hod	18	43			zdroje ve tvaru kuličky 100–2000 mC/mm³ vyšší spec. aktivita se dosáhne absorbováním Rn v aktivním uhlí	ocel 50–200 mm		
				0,241 0,352 0,610 1,129 1,244 1,778 2,220 2,600	0,0513 0,0315 0,0203 0,0109 0,0099 0,0069 0,0056 0,0049	1 mg Ra ekv.	14	55						
88 Mesotho- rium MTh (70 % MTh 30 % Ra)	26 roků			1,171 1,332	100 100	0,0105 0,0093	1,35 mr/hod	13	51	300–500 mC 47–80 mC/mm³	500–1000 mC 10–19 mC/mm³	1000–3000 mC 6–18 mC/mm³	175	ocel 40–150 mm
27 Kobalt Co 60	5,3 roků													

slabé zdroje	38 Stron- cium Sr 90	19,9 roků	0,531	Ne- vysílá											
	55 Caesium Cs 137	33 roků			0,667	100	0,0185	0,35 mr/hod		250 mC	1000–2000 mC	6000–8000 mC	Odpadní produkty štěpné reakce	ocel 10–50 mm	
	63 Europium Eu 154	5,45 roků	1,58		0,344 0,123		0,0361 0,1008		< 2	40 mC/mm³	20–40 mC/mm³	35–48 mC/mm³			
	69 Thulium Tm 170	127 dní			0,430 0,205 0,083	2,5 13,5 100	0,0287 0,0602 0,1487	0,0045 mr/hod	< 2	300–400 mC	—	—		ocel 1–10 mm hliník 5–30 mm	
	73 Tantal Ta 182	117 dní			1,225 1,139 0,222 0,152	57 37 4 2	0,0101 0,0108 0,0560 0,0812	0,61 mr/hod	13	46	47–64 mC/mm³	—	16	ocel 30–130 mm	
	77 Iridium Ir 192	74 dní			0,606 0,589 0,469 0,315 0,307 0,295	8 3 28 31 15 14	0,0203 0,0209 0,0264 0,0392 0,0402 0,0418	0,27 mr/hod	2	11	700–1000 mC	3000–4000 mC	6000–8000 mC	1	ocel 10–50 mm
	81 Thalium Tl 204	2,71 roků	0,765	0,076 slabé						16 mC/mm³	10–20 mC/mm³	3–6 mC/mm³			

V tab. I, kterou částečně sestavil dr. ing. Baumler, je poločas uveden v druhém sloupci, energie záření v třetím sloupci.

Třetí z nich je *aktivita* radioaktivního isotopu, která udává, kolik jeho atomů se rozpadlo za 1 sek. v určitém okamžiku, čili kolik čisticího nebo fotonu bylo radioaktivním isotopem vysláno za 1 sek. v určitém časovém okamžiku do celého prostorového úhlu 4π . Aktivitou radioaktivního isotopu se dá charakterizovat množství použitého radioaktivního preparatu. Vyjadřuje se v jednotce, která byla na počest objevitelů radia nazvana curie.³

Při přípravě radioaktivního isotopu je v určitých případech, na př. pro střívky v mm³ nebo v gramech. Podíl aktivity radioaktivního isotopu k jeho množství se nazývá *specifickou aktivitu*.

Pokud je o *přirození radioaktivní látky*, vyskytuje se v kůře zemské buď čistí se a připravují v určité sloučenině. Na př. radium bývá dodáváno pro praktické účely obvykle ve formě chloridu radnatého.

Přirození radioaktivní látky vyskytuje se v určité sloučenině. Na př. radium bývá dodáváno pro a to *záporné elektrony*; záření alfa nebo beta může být v obou případech doprovázeno vysíláním záření gama, jehož energie má hodnotu mezi 2 až 3 MeV. Přesahuje tedy energii záření vysílaného běžně používanými roentgenovými přístroji (0,2 až 0,3 MeV), avšak je podstatně menší než energie záření buzeného v betatronech (20 až 30 MeV). Jak je patrné z připojené tabulky I, vysílájí z přirozených radioaktivních látek záření γ vhodné energie tyto prvky: radium, radon a mesothorium. Radon má však nevýhodu, že je užitím, neboť jeho poločas je krátký, necelé 4 dny. Ačkoliv dnes známe u každého prvku několik *umělých radioisotopů*, splňuje pouze několik z nich požadavky kladene na poločas a energii vysílaného záření, ať již jde o radioisotopy vysílající záření beta nebo záření gama. Některé umělé zářice beta vysílají negativní, některé pozitivní elektrony. Z umělých radioaktivních prvků je pouze nepatrná část schopna vysílat záření alfa, na př.

³ Jednotka curie byla původně definována pro aktivitu takového množství radonu, které je v rovnováze s 1 g radia. Roku 1930 pak Mezinárodní komise radiových standardů doporučila používat této jednotky i u jiných členů řady radia, které vysílají čisticí alfa. Podle této definice odpovídá 1 curie takové množství radioaktivní látky, která vysílá v 1 sek. stejný počet čisticí alfa, jako 1 g radia, t. j. $3,7 \cdot 10^{10}$ čisticí za 1 sek. Jedna tisícina curie se nazývá milicurie mc = 10^{-3} curie. Jednotky „ekvivalent mc“ se dnes používají pro všechny zářice, t. j. i pro umělé radioaktivní látky. Podle usnesení IV. mezinárodního radioaktivního kongresu v Londýně v roce 1950 je 1 mc takové množství radioaktivního isotopu, v němž nastává 3,700 $\cdot 10^9$ rozpádů za 1 sek.

se rozpadlo za 1 sek. v určitém okamžiku, čili kolik čisticího nebo fotonu bylo radioaktivním isotopem vysláno za 1 sek. v určitém časovém okamžiku do celého prostorového úhlu 4π . Aktivitou radioaktivního isotopu se dá charakterizovat množství použitého radioaktivního preparatu. Vyjadřuje se v jednotce, která byla na počest objevitelů radia nazvana curie.³

Při přípravě radioaktivního isotopu je v určitých případech, na př. pro střívky v mm³ nebo v gramech. Podíl aktivity radioaktivního isotopu k jeho množství se nazývá *specifickou aktivitu*.

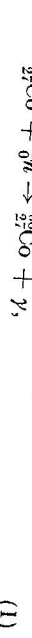
Pokud je o *přirození radioaktivní látky*, vyskytuje se v kůře zemské buď čistí se a připravují v určité sloučenině. Na př. radium bývá dodáváno pro praktické účely obvykle ve formě chloridu radnatého.

Přirození radioaktivní látky vyskytuje se v určité sloučenině. Na př. radium bývá dodáváno pro a to *záporné elektrony*; záření alfa nebo beta může být v obou případech doprovázeno vysíláním záření gama, jehož energie má hodnotu mezi 2 až 3 MeV. Přesahuje tedy energii záření vysílaného běžně používanými roentgenovými přístroji (0,2 až 0,3 MeV), avšak je podstatně menší než energie záření buzeného v betatronech (20 až 30 MeV). Jak je patrné z připojené tabulky I, vysílájí z přirozených radioaktivních látek záření γ vhodné energie tyto prvky: radium, radon a mesothorium. Radon má však nevýhodu, že je užitím, neboť jeho poločas je krátký, necelé 4 dny. Ačkoliv dnes známe u každého prvku několik *umělých radioisotopů*, splňuje pouze několik z nich požadavky kladene na poločas a energii vysílaného záření, ať již jde o radioisotopy vysílající záření beta nebo záření gama. Některé umělé zářice beta vysílají negativní, některé pozitivní elektrony. Z umělých radioaktivních prvků je pouze nepatrná část schopna vysílat záření alfa, na př.

³ Jednotka curie byla původně definována pro aktivitu takového množství radonu, které je v rovnováze s 1 g radia. Roku 1930 pak Mezinárodní komise radiových standardů doporučila používat této jednotky i u jiných členů řady radia, které vysílají čisticí alfa. Podle této definice odpovídá 1 curie takové množství radioaktivní látky, která vysílá v 1 sek. stejný počet čisticí alfa, jako 1 g radia, t. j. $3,7 \cdot 10^{10}$ čisticí za 1 sek. Jedna tisícina curie se nazývá milicurie mc = 10^{-3} curie. Jednotky „ekvivalent mc“ se dnes používají pro všechny zářice, t. j. i pro umělé radioaktivní látky. Podle usnesení IV. mezinárodního radioaktivního kongresu v Londýně v roce 1950 je 1 mc takové množství radioaktivního isotopu, v němž nastává 3,700 $\cdot 10^9$ rozpádů za 1 sek.

Poněvadž pro technickou praxi jde hlavně o použití záření beta a gama, jednak vlastnostmi těchto dvou druhů radioaktivního radioisotopů, umělé radioaktivní isotopy se dnes připravují z největší části v *jaderných reaktorech*. Pouze v ojedinělých případech se k tomuto účelu používá *cyclotron*. V jaderných reaktorech se volí k přípravě radioisotopů dvojí cesta.

První způsob záleží v tom, že se vzorek, na př. určité množství kobaltu, vsune dovnitř jaderného reaktoru, kde je vzorek vystaven po určitou dobu *bombardování neutrony*. Neutrony, jejichž tok dosahuje uvnitř reaktoru rádově 10¹³ až 10¹⁴ neutronů . cm⁻² . sek⁻¹, jsou pohlcovány jádry vzorku, čímž se vytvoří nový isoton příslušného prvku. Na př. kobalt, který má jediný stabilní isoton ⁵⁹Co, přechází tímto pochodem v radioaktivní kobalt ⁶⁰Co podle jaderné reakce.



v níž ${}_0^1n$ značí neutron a γ značí záření gama vysílané při pohlcení neutronu jádrem kobaltu. Obdobně je tomu u ostatních radioisotopů připravovaných touto cestou.

Druhou možnost získat dlouhodobé radioaktivní isotopy poskytuje *štěpné produkty*, které vznikají během provozu jaderného reaktoru štěpením uranových jader a které je možno separovat při rafinaci uranového paliva po jeho které má poločas zhruba 20 let.

Radioaktivitu nebo krátkce *aktivitu A* preparátu získaného při provozu jaderného reaktoru prvním nebo druhým způsobem stanovujeme metodami založenými na ionizačních účincích záření beta a gama a vyjadřujeme je, jak bylo uvedeno, v jednotce curie.

Ve většině případů jde při výrobě umělých radioaktivních isotopů o dosažení co největší *specifické aktivity a*, pro kterou platí v zásadě vztah [5], [8]

$$a = \frac{A}{V} = 3,7 \cdot 10^{10} \frac{n \phi}{V} (1 - e^{-\frac{0,7t}{T}}) \text{ curie. mm}^{-3}, \quad (2)$$

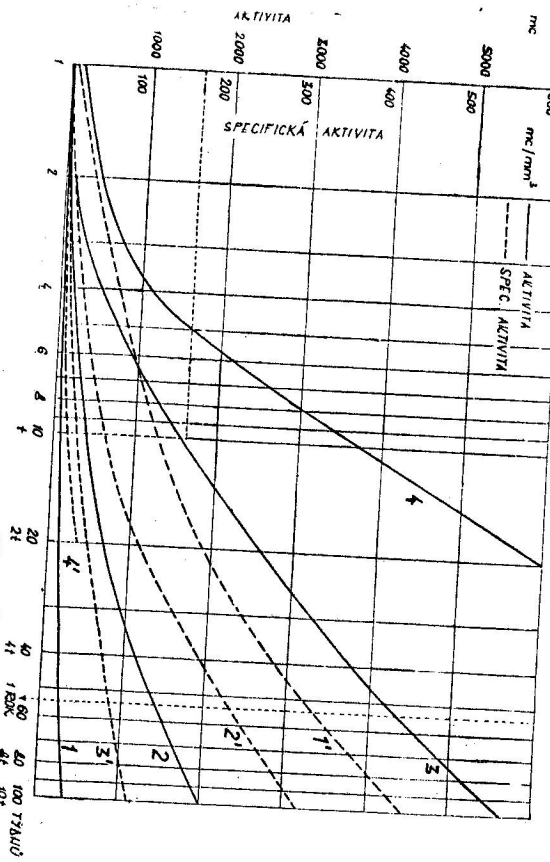
v němž značí n počet atomů obsažených v objemu V , σ účinný průřez charakterizující absorpci neutronů v ozářovaném materiálu, ϕ hustotu neutronového toku v reaktoru, T poločas připravovaného radioisotopu a t dobu provádění aktivace v uranovém reaktoru. Při tom je *účinný průřez* definován podle

$$\sigma = \frac{\text{počet vytvořených jader radioaktivního isotopu}}{\text{počet neutronů} \times \text{počet jader ozářovaného prvku na } 1 \text{ cm}^2}. \quad (3)$$

Hodnoty účinných průřezů σ jsou uvedeny v *Atlasu* citovaném pod [14].⁴ zaveden, jako menší jednotka 1 barn = 10^{-24} cm².

Hustota neutronového toku je definována jako počet neutronů procházejících plochou 1 cm² za 1 sek.

Z uvedeného výrazu je zřejmo, že aktivita připravovaného radioisotopu roste s časem, ze však po aktivační době rovné 3 až 4 poločasům T , je příruček aktivity tak malý, že nemá smysl pokračovat v přípravě radioisotopu, neboť druhý člen v závorce výrazu (2) se blíží k nule. Zvýšení aktivity je možno



Obr. 1. Aktivace iridia ^{192}Ir v uranovém reaktoru. Křivky 1 a 1' byly ziskány pro válcový vzorek o průměru 1 mm a výšce 1 mm, křivky 2 a 2' pro válcový vzorek o průměru 2 mm a výšce 2 mm, křivky 3 a 3' pro válcový vzorek o průměru 4 mm a výšce 4 mm, křivky 4 a 4' pro válcový vzorek o průměru 6 mm a výšce 6 mm. (Obrázek získal Dr. ing. Baumler.)

dosáhnout zvětšením neutronového toku. Představu o tom, jak roste specifická aktivita radioaktivního iridia připravovaného v uranovém reaktoru, je možno si učinit z obr. 1, který dal k dispozici dr. ing. Baumler. Čím větší specifické aktivity se dosáhne u připravovaného preparátu, tím lepší jsou podmínky pro geometrické zobrazení a tím ostřejší jsou i obrázky získané na defektuálním materiálu.

1. Rozpad radioisotopu a jeho poločas

Jakmile se ozářovaná látka vyjmé z reaktoru, začne aktivita vytvořeného radioisotopu klesat, neboť jeho atomy se začnou rozpadat. Poněvadž u radioisotopů používaných v technické praxi jde většinou o jednoduchý rozpad beta,

při kterém je vyslán buď záporný nebo kladný elektron, je isotop, který vznikl rozpadem, sousedním prvkem radioisotopu v Mendelejevově periodické soustavě. Obvykle to býva isotop stabilní. Na př. při rozpadu radioaktivního kobaltu ^{60}Co vzniká stabilní isotop niklu ^{60}Ni . Pouze v jedinělých případech vzniká při rozpadu použitého radioisotopu isotop, který je rovněž radioaktivní. Na př. při rozpadu strontia ^{90}Sr vzniká yttrium ^{90}Y , které je rovněž radioaktivní a rozpadá se na stabilní isotop zinku ^{40}Zn .

Jde-li o rozpad radioaktivního isotopu v isotopu stabilém, jako je tomu u radioisotopů s periodickou skupinou IIB, pak jeho aktivity ubývá exponenciálně. Je-li $N(0)$ počet dosud vyjmut z reaktoru, pak je počet $N(t)$ jeho dosud nerozpadlých atomů v čase t dán vztahem

$$N(t) = N(0)e^{-\lambda t}, \quad (4)$$

kde λ značí rozpadovou konstantu, která souvisí s poločasem T vztahem

$$\lambda = \frac{\ln 2}{T} = \frac{0,693}{T}. \quad (5)$$

Má rozměr sek⁻¹, měřme-li T v sekundách. Obdobně je možno pro aktivitu A radioisotopu v čase t psát vztah

$$A_t = A_0 e^{-\lambda t}, \quad (6)$$

kde A_0 je aktivita radioisotopu v čase $t = 0$, kdy byl radioisotop vyjmut z reaktoru, kdy byla změřena jeho specifická aktivita a udána v curiech, mm⁻³ nebo milicuriech, mm⁻³. Vzhledem k tomu, že aktivita radioisotopu klesá exponenciálně, vybíráme pro použití v technické praxi radioisotopy, které mají poměrně dlouhý poločas. Poněvadž aktivita radioisotopu je dodávající stanovime ji v době, kdy měříme, buď výpočtem podle vztahu (6) nebo snadno křivku v semilogaritmickém měřítku tak, že na osu y naneseme aktivitu A , na osu x čas t , dostaneme přímku, poněvadž jde o funkci exponenciální [viz vztah (4) a (6)].

Na obr. 2 je jako příklad znázorněna rozpadová křivka dusíku ^{13}N , kterou jsem naměřil po bombardování uhlíku protony uvydelenými na 800 kV; v obrázku je patrné, že aktivitu radioisotopu je možno z takového grafu v kterékoli době okamžitě a pohodlně určit. Z grafu je možno stanovit také poločas rozpadu $T = 10,2$ min., uvedenou v tabulkách (5).

Rozpadá-li se radioisotop 1 v isotop 2, který je rovněž radioaktivní, pak jsou poměry aktivity složitější, dají se však rovněž presně stanovit. Je-li $N_1(t)$ počet dosud nerozpadlých atomů materiálu radioaktivní látky t. j. radioisotopu 1

v čase t , $N_2(t)$ počet dosud nerozpadlých atomů dceřinné radioaktivní látky t. j. radioisotopu 2 v čase t , kterýžto radioisotop vzniká rozpadem radioisotopu 1, pak pro $N_1(t)$ a $N_2(t)$ platí výraz

$$N_1(t) = N_1(0) e^{-\lambda_1 t}, \quad (7)$$

$$N_2(t) = N_1(0) \frac{\lambda_1}{\lambda_2 - \lambda_1} (e^{-\lambda_1 t} - e^{-\lambda_2 t}), \quad (8)$$

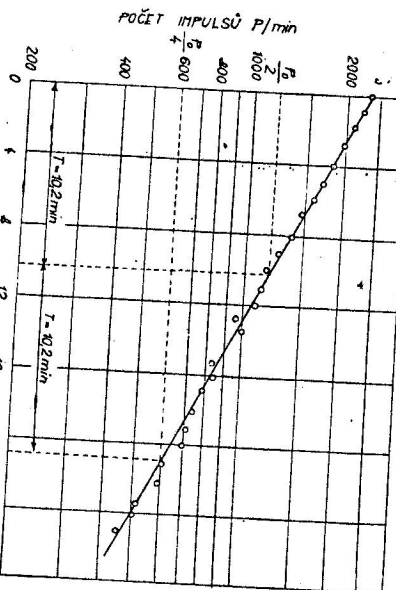
který je konstantní. Nastává tedy mži aktivitami obou radioaktivních isotopů rovnováha.

Je-li obráceně $T_1 \ll T_2$, čili $\lambda_1 \gg \lambda_2$, pak lze upravit vztah (9) do tvary

$$N_2(t) = N_1(0) \frac{\lambda_1}{\lambda_1 - \lambda_2} e^{-\lambda_2 t}, \quad (11)$$

který ukazuje, že aktivity dceřinné látky bude ubývat s poločasem dceřinné látky.

Jouli oba poločasy T_1 a T_2 , t. j. i rozpadové konstanty λ_1 a λ_2 rádově stejné, pak má rozpadová křivka pro $N_2(t)$ průběh znázorněný na obr. 3 pro aktinum. Radioaktivní rovnováha nenastane. Jako další příklad mžeme



Obr. 2. Rozpadová křivka radiodusku ^{14}N ; stanovení jeho poločasu $T = 10,2$ min.

a případně jeho aktivity v libovolném čase t .

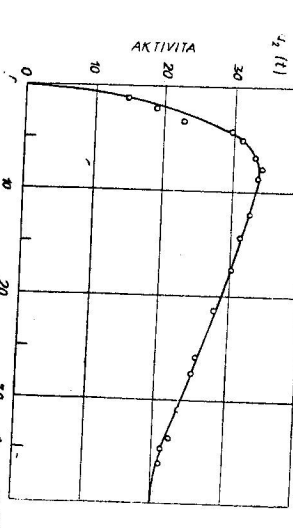
uvedené na př. v II. dle na str. 443 knihy citované pod [6], kde λ_1 a λ_2 jsou příslušné rozpadové konstanty, T_1 a T_2 příslušné poločasy, $N_1(0)$ je počet dosud nerozpadlých atomů radioisotopu 1 v čase $t = 0$. Průběh rozpadu si mžeme ozřejmit pro některé zvláštní případy, které závisí na tom, jaký je poměr rozpadových konstant λ_1 a λ_2 , resp. poločasů T_1 a T_2 mateřské a dceřinné radioaktivní látky.

Je-li $T_1 \gg T_2$, čili $\lambda_1 \ll \lambda_2$, jako je tomu na př. u ^{90}Sr , které má poločas 19,9 roku a rozpadá se na radioaktivní yttrium ^{90}Y s poločasem 2,54 dnů (za vysílání negativních elektronů), pak přejde vztah (8) v jednodušší výraz

$$N_2(t) = N_1(0) \frac{\lambda_1}{\lambda_2 - \lambda_1} e^{-\lambda_1 t}. \quad (9)$$

Ze vztahu (9) je patrné, že aktivity dceřinné látky, v uvedeném případě ^{90}Y , ubývá s poločasem mateřské látky, t. j. v uvedeném případě ^{90}Sr . Poměr množství obou radioaktivních látek, t. j. mateřské i dceřinné, je dán podílem rovnic (9) a (7).

$$\frac{N_2(t)}{N_1(t)} = \frac{\lambda_1}{\lambda_2 - \lambda_1}, \quad (10)$$



Obr. 3. Rozpadová křivka $N_2(t)$ pro aktinum AcC, které se tvoří rozpadem AcB, při čemž $T_1 = 36,1$ min. je těhož řádu jako $T_2 = 2,16$ min.

uvést baryum ^{140}Ba , které se rozpadá za vysílání záření beta a gama na radioaktivní lanthan ^{140}La , který se za vysílání záření beta a gama přeměnuje na stabilní cer ^{140}Ce . Jestliže v čase $t = 0$ bylo přítomno $N_1(0)$ atomů barya ^{140}Ba , pak za $t = 30$ dní je přítomno již jen $0,2 N_1(0)$ atomů barya ^{140}Ba a $0,03 N_1(0)$ atomů lanthanu ^{140}La .

2. Energie záření beta a záření gama radioisotopu

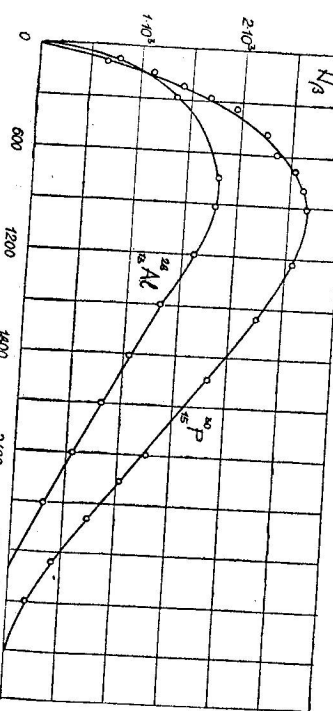
Pro technickou praxi přicházejí v úvahu, jak již bylo uvedeno, umělé radioaktivní isotopy vysílající záření beta, pro defektoskopii pak ty záříce beta, u nichž je radioaktivní rozpad doprovázen ještě vysíláním záření gama.

Záření beta vznika samovolným rozpadem atomových jader prvku, při čemž jsou vysílány v některých případech záporné elektrony, v některých případech kladné elektrony.

Energie, která se uvolní při rozpadu atomového jádra radioisotopu, se roz-

od nulové hodnoty až do maximální hodnoty, která je k dispozici při rozpadu. V důsledku toho je energetické spektrum záření beta spojité. Křivka charakterizující toto spektrum a udávající počet častic N vysílaných s určitou energií E je znázorněna pro radiofosfor $^{31}_{15}\text{P}$ a $^{28}_{13}\text{Al}$ na obr. 4. Srovnání hodnot energie padu beta je nejjednodušším případem tohoto rozpadu.

Mohou však nastat složitější případy rozpadu atomových jader, které souvisí s jejich strukturou. Jádro kteréhokoli prvků totiž má – podobně jako kantový obal – řadu diskretních energetických hladin, charakterisovaných kvantovými čísly. Jestliže se atomové jádro radioisotopu nerozpadá přímo do základní energetické hladiny, nýbrž do jednoho nebo více vzbuzených stavů, pak obdržíme



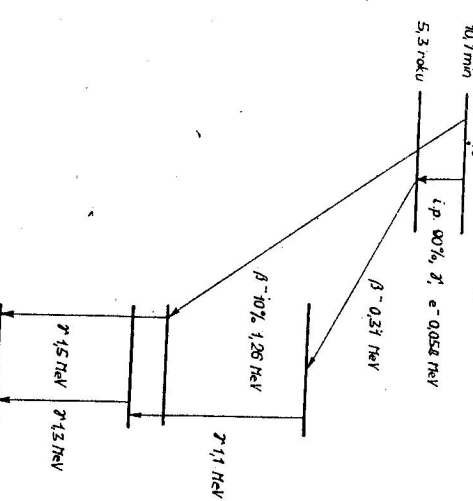
Obr. 4. Spojité spektrum záření beta radioisotopů $^{31}_{15}\text{P}$ a $^{28}_{13}\text{Al}$.

místo jednoduchého spektra energetické spektrum záření beta, složené ze dvou spektrů elektronů. Přes toto spektrum se může ještě dále překládat čárové novány paprsky gamma; vysílanými vzbuzenými jádry po proběhlém rozpadu beta. Jako příklad je zde možno uvést opět rozpad radioaktivního kobaltu $^{60}_{27}\text{Co}$ [2],

Záření gamma vzniká v atomovém jádru do jisté míry obdobným způsobem vlnového charakteru, jehož vlnová délka je pravidelně kratší než vlnová délka roentgenového záření. *Nastane-li* rozpad beta atomového jádra určitého prvku tak, že jádro nepřejde ihned do své nejnižší energetické hladiny, může po roentgenovém záření *Nastane-li* rozpad beta atomového jádra určitého prvku tak, že jádro nepřejde ihned do své nejnižší energetické hladiny, může po roentgenovém záření nebo základního energetického stavu. Je tedy energie jádra, a energie, odpovídající stavu jádra po vysílání kladného nebo záporného

elektronu. Přitom může probíhat rozpad u téhož radioisotopu dříve na sobě nezávislými cestami s různým polohasem obou pochodu rozpadu, jako na př. u radioaktivního kobaltu $^{60}_{27}\text{Co}$. Tento jev nazýváme *isomerii*. Radioaktivní atomy takových dvou skupin téhož radioisotopu, které mají stejný počet protonů a stejný počet neutronů v jádře a které se od sebe liší pouze svými radioaktivními vlastnostmi, se nazývají *isomery*.

Pochod rozpadu radioaktivních látek, při němž je vysíláno záření gamma, objasníme blíže na rozpadu radioaktivního kobaltu, jehož schema je znázorněno na obr. 5. U radioaktivního kobaltu jde o isomerii. Prvním způsobem probíhá roz-



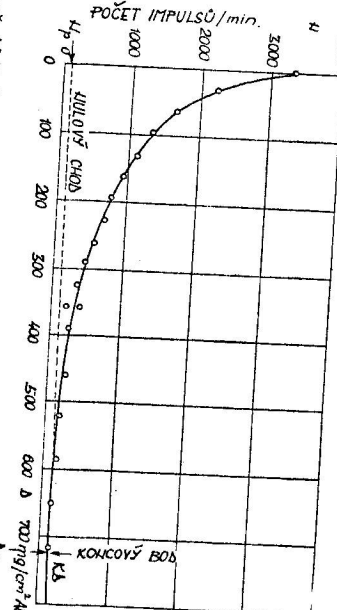
Obr. 5. Schema rozpadu radioaktivního kobaltu $^{60}_{27}\text{Co}$ s isomerním přechodem.

pad tak, že jsou v 10 % případu vysílány negativní elektrony s maximální energií 1,26 MeV. Počas tohoto typu rozpadu beta je 10,7 min. Rozpad beta je následován vyzářením kvanta gamma s energií 1,5 MeV. Při druhém způsobu, což je v 90 % případu, nastává nejprve isomerický přechod na nižší hladinu za vysílání záření gamma nebo elektronu vnitřní konverze s energií 0,058 MeV. Z této nižší hladiny se jádro kobaltu přeměnuje za vysílání negativních elektronů s polohasem 5,3 roku a maximální energií 0,31 MeV na vzbuzená jádro niklu $^{60}_{28}\text{Ni}$, která pak vysílá záření gamma o energiích 1,1 a 1,3 MeV. Z uvedeného diagramu na obr. 5, jakož i z tab. 1 je zřejmo, že radioaktivní látky vysírají spektrum záření gamma s diskretními hodnotami energií, t. j. spektrum s řadou diskretních vlnových délek záření gamma (viz publikaci [7]). Podobně je tomu u ostatních radioisotopů používaných v technické praxi. Pro europium $^{154}_{63}\text{Eu}$, pro thulium $^{130}_{69}\text{Tm}$, pro tantal $^{182}_{73}\text{Ta}$ a pro iridium $^{192}_{77}\text{Ir}$ je uvedena v tab. 1 energie záření gamma ve třetím sloupci, příslušná vlnová délka v pátém sloupci.

S energií záření beta i záření gamma jsou velmi úzce spjaty *absorpční vlastnosti látek* pro radioaktivní záření. Tato skutečnost má nejen velkou důležitost značnost absorpčních vlastností záření používaných radioisotopů, nýbrž i pro použití určitého radioisotopu v technické praxi.

Prochází-li záření beta nějakou látkou, je ji pochlíváno, což je způsobeno jednak tím, že jsou elektrony rozptylovány, jednak tím, že ztrácejí energii ionizací a buzením záření. Tyto pochody způsobují, že elektrony určité maximální energie jsou absorbujucí látkou pochlovány přibližně exponenciálně se vztahem

$$N_d = N_0 e^{-\mu d} \quad (12)$$



Obr. 6. Absorpční křivka záření beta radioaktivního fosforu ^{32}P . Na ose x je nanesena tloušťka D hliníku v $\text{mg} \cdot \text{cm}^{-2}$, na ose y počet impulsů N za minutu. Stanovení t. zv. koncového bodu KB.

V tomto vztahu značí N_0 počet elektronů dopadajících na přední plochu absorbujucí látky tloušťky d , N_d je počet elektronů, které touto látkou s absorpcním koeficientem μ proletěly. Koeficient μ má rozměr cm^{-1} , měřme-li tloušťku d v cm.

Absorpce elektronů bývá charakterována t. zv. *polotloušťkou*, t. j. tloušťkou vrtstvy $d_{1/2}$, pro kterou klesne počet elektronů prošlých absorpční látkou na polovinu, t. j. pro kterou $N/N_0 = 1/2$. Ze vztahu (12) plyne pro polotloušťku $d_{1/2}$ výraz

$$d_{1/2} = \frac{\ln 2}{\mu} = \frac{0,693}{\mu} \quad [\text{cm}] \quad (13)$$

Jeli ϱ specifická hmota absorbujucí látky, bývá absorpce charakterována také veličinou

$$D_{1/2} = \varrho d_{1/2} = \frac{0,693 \varrho}{\mu} \quad [\text{g} \cdot \text{cm}^{-2}] \quad (14)$$

Číselné hodnoty charakterisující absorpcii jsou proto obvykle vyjadřovány v $\text{g} \cdot \text{cm}^{-2}$ nebo v $\text{mg} \cdot \text{cm}^{-2}$.

Na obr. 6 je znázorněna absorpční křivka v hliníku pro záření beta vysílané radioaktivním fosforem ^{32}P , kterou naměřil M. Rezkoš, asistent FTJF Karlovy university. Maximální energie jeho spektra je 1,708 MeV. Můžeme ji stanovit z absorpční křivky následujícím způsobem.

Je k tomu třeba znát dolet elektronů maximální energie E_m , který je na absorpční křivce charakterisován odpovídající mezní (maximální) hodnotou $D_m = \varrho d_m$, kde d_m je mezní tloušťka absorbátora v cm (obr. 6), pro niž je záření beta vysílané radioaktivním isotopen úplně absorbováno. Maximální dolet byl různými autory [9], [10], [11], [12] různě definován. V tomto článku definice mezní hodnoty D_m , jak ji podal Feather [12]. Tuto mezní tloušťku D_m i pro hodnoty D hliníku, které jsou větší než mezní hodnota D_m . Tím stanovíme počet impulsů vytvořených v Geiger-Müllerově počítaci jedná kosmickým zářením, jednak radioaktivními látkami obsaženými v materiálech počítadla, po případě v ovzduší. Tento počet impulsů N_p , charakterisující t. zv. „pozadí“ počítadla nebo jeho t. zv. „ulogový chod“, zaneseme do grafu s absorpční křivkou jako přímku rovnoběžnou s osou x (v obr. 6 je čárkována). Bod KB stanovíme jako tečný bod této přímky s absorpční křivkou a na ose x odečteme mezní hodnotu D_m hliníku v $\text{mg} \cdot \text{cm}^{-2}$.

Pro výpočet mezní hodnoty D_m je-li známa maximální energie E_m , nebo obráceně pro stanovení maximální energie E_m z naměřené mezní hodnoty D_m sestavil Feather poloempirický vztah

$$D_m = \varrho d_m = 0,543 E_m - 0,160, \quad (15)$$

kterého je možno používat pro maximální energie $E_m > 0,7 \text{ MeV}$. Vyjádříme-li E_m v MeV, pak má mezní hodnota D_m , vypočtená ze vztahu (15), rozměr $\text{g} \cdot \text{cm}^{-2}$ a obráceně můžeme psát

$$E_m = 1,85 D_m + 0,245. \quad (16)$$

Pro ^{32}P byla z křivky v obr. 6 odečtena mezní hodnota $D_m = 0,725 \text{ g} \cdot \text{cm}^{-2}$, které odpovídá $E_m = 1,59 \text{ MeV}$ v dobrém souhlasu s hodnotou 1,708 MeV uvedenou v tabulkách [5].

Vztah, který využívá i v obořu menších energií, udal Flammersfeld [13] ve tvaru

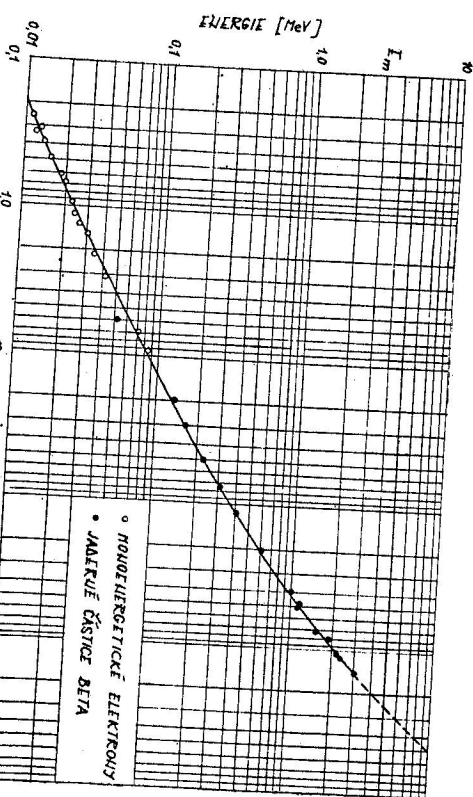
$$E_m = 1,92 \sqrt{D_m^2 + 0,22 D_m}, \quad (17)$$

z něhož dostaneme E_m v MeV, jestliže vyjádříme naměřenou mezní hodnotu D_m v $\text{g} \cdot \text{cm}^{-2}$. Pro obor energií od 1,15 MeV do 0,8 MeV lze použít také vztahu

Nejrychleji stanovíme maximální energii E_m elektronů záříče beta z křivky sestrojené z naměřených mezních hodnot D_m a těmto hodnotám odpovídajících hodnot maximální energie E_m . Obr. 7 přináší takovou křivku sestrojenou z naměřených hodnot jednací pro monoenergetické elektrony, jednak pro jaderne částice beta, z níž můžeme k naměřené mezní hodnotě D_m absorbatoru odčíst přímo maximální energii E_m záření beta.

absorpční koeficient $\mu/\rho = 10,4 \text{ g}^{-1} \text{ cm}^2$, vypočtený pro absorpci častic beta vysílaných radiofosforem do roentgenového filmu v dané geometrii usporádání [24].

Grafické znázornění závislosti absorpcie záření beta $^{90}\text{Sr} + ^{90}\text{Y}$ v roentgenovém filmu ukazuje obr. 9. Pro absorpcí koeficient ^{90}Sr byla tímto způsobem naměřena hodnota $\mu/\rho = 11,7 \text{ g}^{-1} \text{ cm}^2$.



Obr. 7. Křivka znázorňující závislosti maximální energie E_m záření beta na odpovídající mezní hodnotě D_m absorbatoru.

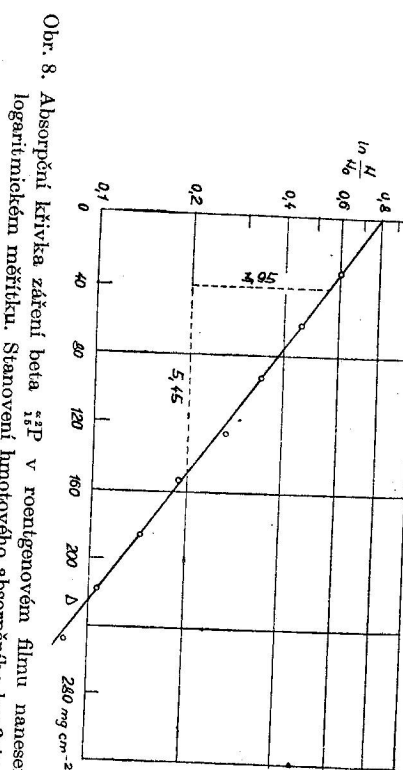
Pro záření skládající se z několika složek platí vztah

$$N = N_{1,0} e^{-\mu_1 d} + N_{2,0} e^{-\mu_2 d} + \dots \quad (19)$$

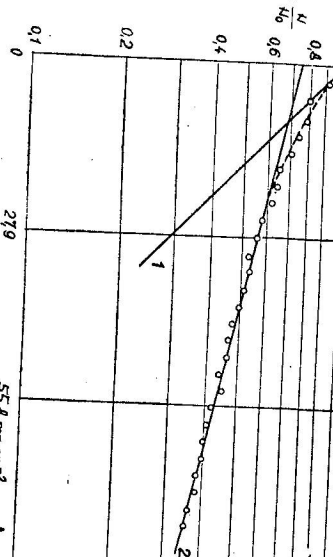
kde μ_1, μ_2 jsou *lineární absorpcí koeficienty* jednotlivých složek a $N_{1,0}, N_{2,0}$ množství lineárního koeficientu absorpcie μ je jeví vhodnější zavést podíl μ/ρ ,

Takto definovaný koeficient se nazývá *hmotovým absorpcním koeficientem* a má rozdíl $\text{g}^{-1} \cdot \text{cm}^2$. Jeho hodnoty jsou uvedeny pro příslušné radioisotopy a příslušné absorpcí materiály v tabulkách [4]. Hmotový absorpcí koeficient se dá pohodlně stanovit ze směrnice absorpcí křivky, nanesene-li ji v semilogaritmickém měřítku.

Pro absorpční křivku záření beta radiofosforu v roentgenovém filmu, nanesenou na semilogaritmický papír, dostaneme přímkou znázorněnou na obr. 8. Ze směrnice této přímky byl pro ^{32}P stanoven hmotový absorpcí koeficient $\mu/\rho = 9,3 \text{ g}^{-1} \text{ cm}^2$ v roentgenovém filmu, který je pouze o 10 % nižší než hmotový

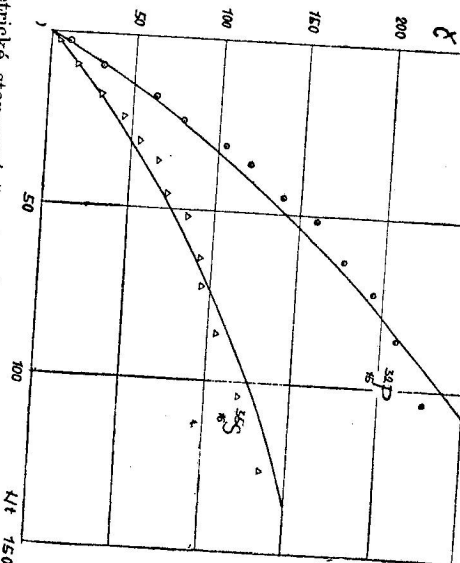


Obr. 8. Absorpční křivka záření beta ^{32}P v roentgenovém filmu nanesená v semilogaritmickém měřítku. Stanovení hmotového absorpcího koeficientu.



Obr. 9. Absorpční křivka záření beta $^{90}\text{Sr} + ^{90}\text{Y}$ v roentgenovém filmu nanesená v semilogaritmickém měřítku. Stanovení hmotového absorpcího koeficientu. Sobem naměřena z přímký 1 s přesností $\pm 10\%$ hodnota $\mu/\rho = 46 \text{ g}^{-1} \text{ cm}^2$ pro průměrný absorpcí koeficient obou složek $^{90}\text{Sr} + ^{90}\text{Y}$ byla z přímký 2 stanovena hodnota $\mu/\rho = 11,7 \text{ g}^{-1} \text{ cm}^2$ [24]. Stanovime-li nejen závislost absorpcie záření beta na jeho maximální energii E_m , nýbrž i zčernání Č fotografické emulze vyvolané zářením beta jako funkci jeho maximální energie, můžeme obráceně z hodnoty zčernání fotografického filmu, které bylo vyvoláno zářením beta známé maximální energie, určit intenzitu tohoto záření. Stanovení této závislosti bylo provedeno autorem

složecí s M. Rozkošem v práci [24]. Obr. 10 ukazuje jako příklad závislost černání \bar{C} emulze roentgenového filmu změřené fotometrováním v závislosti na celkovém počtu Nt častic beta radiofosforu ^{32}P , jejichž maximální energie je $E_m = 1,708 \text{ MeV}$, a radiosíry ^{35}S , jejichž maximální energie je $E_m = 0,169 \text{ MeV}$. Při tom značí N počet častic beta, které dopadly za 1 min. na 1 cm^2 fotografické emulze. Stanovení této závislosti má zásadní význam pro určování aktivity, a tudíž množství určitého prvku v odlišku zkoumaném metodou autoradiografie [22], [23].



Obr. 10. Fotometrické stanovení černání \bar{C} fotografické emulze roentgenového filmu využívané zářením beta radiofosforu ^{32}P a radiosíry ^{35}S v závislosti na počtu Nt častic β .

Je-li záření beta doprovázeno zářením gamma, je možno změřit celou absorpční křivku záření beta hliníkem, anž se bere korekce na absorpcí záření gamma jeme-li záření beta poměrně velmi tenkou vrstvou olova, můžeme dále sledovat vlastní absorpcí záření gamma.

Prochází-li záření gamma nějakou látkou určité tloušťky, je touto látkou potlačeno a intensita jeho záření klesá. Je-li látka upravena ve formě desky tloušťce d a dopadá li na její přední stěnu záření gamma o intensitě I_0 , je intenzita tohoto záření po průchodu materiálem tloušťky d dáná výrazem

$$I = I_0 e^{-\mu d}, \quad (20)$$

obdobným k výrazu (12); μ je rovněž nazýván koeficient absorpce. Má rozdíl být způsobena různými fyzikálními jevy, rozptylem, fotoelektrickým jevem, Comptonovým jevem, tvorením páru elektronů, jevi se účelným vy-

jádřit, μ ve tvaru součtu $\mu = \mu_1 + \mu_2 + \mu_3 + \dots$, jelož každý dlěj absorpční koeficient se vztahuje k příslušnému fyzikálnímu pochodu (na př. k absorpci způsobené fotoelektrickým jevem).

Podle vztahu (20) se děje absorpce záření gamma exponenciálně. Použijeme-li pro sestrojení grafu z naměřených hodnot semiologaritmického měřítka, dostaneme pro závislost intensity I záření gamma na tloušťce d absorbuječího materiálu přímku, podobně jako pro záření beta.

Je-li záření gamma složené, t. j. skládá-li se z několika složek s_1, s_2, s_3, \dots o různé energii (čili vlnové délce) a různé intensitě $I_{s_1}, I_{s_2}, I_{s_3}, \dots$, je možno charakterisovat pohlcení záření gamma vztahem

$$I = I_{s_1} + I_{s_2} + I_{s_3} + \dots = I_{s_1,0} e^{-\mu_{s_1} d} + I_{s_2,0} e^{-\mu_{s_2} d} + I_{s_3,0} e^{-\mu_{s_3} d} + \dots, \quad (21)$$

který je obdobný ke vztahu (19). Absorpční koeficienty $\mu_{s_1}, \mu_{s_2}, \mu_{s_3}$ atd. charakterisují pohlcování jednotlivých složek záření gamma příslušným absorbátorem. Převládá-li některá složka, můžeme i v tomto případě při použití semilogaritmického měřítka dostat závislost intensity na tloušťce absorbátoru ve formě přímky.

V obr. 1 je zanesena absorpční křivka záření gamma radiokobaltu ^{60}Co . Z takového grafu je možno ihned stanovit příslušnou tloušťku olova, v mm, pro kterou klesne intensita záření gamma na jednu polovinu nebo na jednu desetinu, a mimo to rozlišit od sebe obě dvě složky záření gamma o energii $E_{\gamma_1} = 1,17 \text{ MeV}$ (křivka 1) a $E_{\gamma_2} = 1,33 \text{ MeV}$ (křivka 2) a stanovit jejich absorpční koeficienty.

Z absorpce záření gamma můžeme odhadnout energii tohoto záření, vyslaného příslušným radioaktivním isotopem. Přesné stanovení hodnot energie, zvláště zjištění celého energetického spektra, je však možno provést pouze spektrometry záření gamma [7]. Hodnoty energie záření gamma jsou dnes pro většinu radioisotopů známý a uvedeny v tabulkách [2], [3], [4], [5]. Jejich znalost má zásadní důležitost pro aplikaci radioisotopů zvláště v defektoskopii. Necháme-li totiž všechny ostatní podmínky zobrazení stejné, je volba vhodné energie záření gamma, t. j. volba vhodného radioaktivního isotopu, nezbytně nutná pro dosažení nejvyšší kvality obrazu.

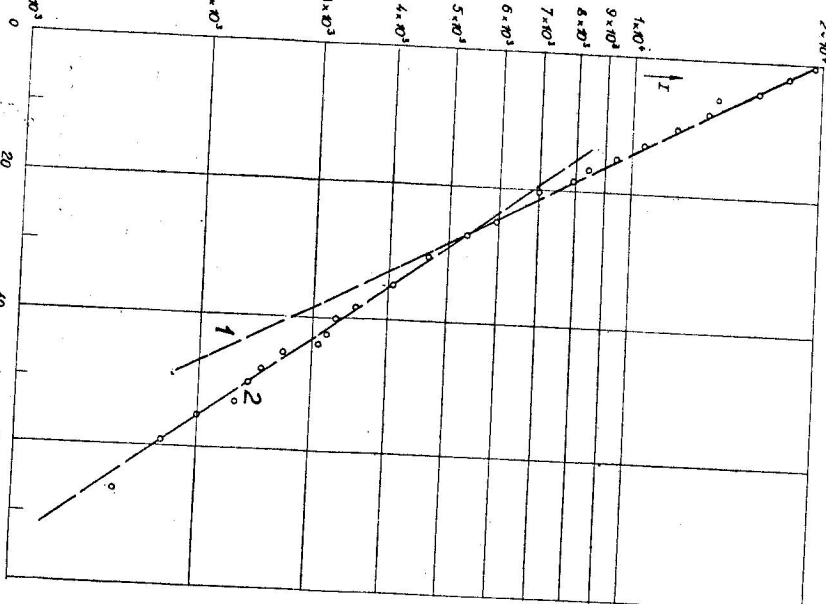
3. Aktivita radioisotopu

Pokud jde o třetí veličinu, která charakterizuje použitý radioisotop, t. j. jeho aktivitu, je pro určitou dobu po vyjmnutí využívaného radioisotopu z reaktoru udána dodavatelem. Poněvadž značí poločas rozpadu, jakož i vztahy (4), (8), (9), (11), podle nichž probíhá rozpad radioaktivního isotopu, můžeme pro kteroukoliv dobu použít stanovit jeho aktivitu.

V případě, že bychom neměli tento údaj dodavatele, je nutno změřit tuto

aktivitu buď metodou relativního stanovení aktivity, nebo metodou absolutního stanovení aktivity.

Ať jde o preparát neznámé aktivity záření beta, nebo o preparát neznámé aktivity záření gamma, je nutno provést v obou případech stanovení neznámé aktivity radioaktivního preparátu srovnáním se známou aktivitou



Obr. 11. Absorpční křivka záření gama radiokobaltu ^{60}Co v olovu. Křivka 1 udává absorpci složky s energií záření gama $E_{\gamma_1} = 1,17 \text{ MeV}$, křivka 2 charakterizuje absorpci pronikavější komponenty s energií záření gama $E_{\gamma_2} = 1,33 \text{ MeV}$.

standardního zdroje. Použijeme-li pro stanovení aktivity radioisotopu ionizačních komůrek, je třeba zachovat stejné podmínky uspořádání. Použijeme-li pro stanovení aktivity radioisotopu Geiger-Müllerových počítací, je nutno dodržet stejnou geometrii uspořádání, čili stejnou vzdálenost radioaktivního zdroje od Geiger-Müllerova počítadla a stejný prostorový úhel.

Použijeme-li při relativním stanovení neznámé aktivity zdroje záření gama jako standardního zdroje záření beta jiného radioaktivního isotopu, je třeba vzít jednak korekci na absorpci záření beta, vyšetřovaného radioisotopu, je potřeba ve vzduchu, v okénku nebo stěně počítat, tak ve vlastním preparátu. Jedenak korekci na odraz jeho záření beta od použité podložky. Mimo to je třeba v tabulkách zjistit, zda u obou radioaktivních isotopů je počet čistic beta připadajících na rozpad jednoho jejich atomu stejný či rozdílný. Jsou to tytéž korekce, o nichž je zmínka níže při popisu metody absolutního stanovení neznámé aktivity zdroje záření beta.

Pokud jde o relativní stanovení neznámé aktivity zdroje záření gama, je třeba při použití standardního zdroje záření gama, který by byl odlišný od vyšetřovaného zdroje záření gama, včetně zachování stejné geometrie uspořádání respektovat ještě různou účinnost počítace na rozdílné složky záření gama různých energií, jakož i různou absorpci téhoto složek ve stěnách počítace. Mimo to je třeba porovnat počet kvant gama vysílaných u obou zdrojů, t. j. standardního zdroje a měřeného zdroje záření gama, na rozpad jednoho jejich atomu. Jsou to opět tytéž korekce, o nichž je zmínka níže při popisu metody absolutního stanovení neznámé aktivity zdroje záření gama. Absolutní stanovení aktivity A zdroje záření beta se provádí tím způsobem, že se radioaktivní isotop vysílající záření beta umístí ve vzdálenosti h od okénka zvonkového počítace nebo katody válcovitého tenkostěrého počítace, a počítacem se stanoví počet impulsů I za minutu, které v něm vytváří měřený radioaktivní preparát. Poněvadž účinnost Geiger-Müllerových počítaců je pro záření beta téměř stoprocentní, můžeme označit I též počet častic beta vyslaných radioaktivním isotopem do prostorového úhlu ω mezi zdrojem beta, pak vypočteme u jednoduchého preparátu podle vztahu

$$A_b = \frac{3,7 \cdot 10^{10} \cdot 60 \cdot \omega \cdot p \cdot K \cdot S \cdot q}{I} \text{ curie}, \quad (22)$$

v němž značí p počet elektronů (včetně konversních elektronů), připadajících na rozpad jednoho atomu měřeného radioisotopu, K koeficient, který charakteruje pohlcení elektronů v okénku nebo stěně počítace a který se stanoví z absorpcích křivek měřeného záření beta pro příslušný materiál okénka nebo stěny, S koeficient vlastního pohlcení záření beta v preparátu, jehož stanovení je poměrně pracné a je popsáno v pracích uvedených pod [15], [16], [17], [18], a konečně q koeficient charakterizující odraz záření beta od použité podložky, který se stanoví z příslušných grafů [15] nebo experimentálně [16].

Jde-li o záříč beta, jehož záření má několik složek, pak je nutno nahradit jmenovatel výrazu (22) součtem příslušných výrazů pro jednotlivé složky. Obdobným způsobem stanovime i absolutní aktivity A_β měřeného radio-

aktivního zdroje záření gama. Při zachování stejných opatření jako při absolutním měření aktivity záření beta stanovíme absolutně aktivitu záření gama podle vztahu

$$A_g = \frac{I}{\frac{3,7 \cdot 10^{10} \cdot 60 \cdot \omega(P_g \eta_1 K_1 S_1 + P_{g_2} \eta_2 K_2 S_2 + \dots)}{3,7 \cdot 10^{10} \cdot 60 \cdot \omega \cdot P_g \cdot \eta}} \text{ curie} =$$

v němž značí P_g celkový počet kvantů gama připadajících průměrně na rozpad jednoho atomu radioaktivního isotopu, η střední účinnost Geiger-Müllerova počítace, která je dána výrazem

$$\eta = \frac{P_{g_1}}{P_g} \eta_1 K_1 S_1 + \frac{P_{g_2}}{P_g} \eta_2 K_2 S_2 + \dots, \quad (23)$$

v němž P_{g_1}, P_{g_2}, \dots značí počet kvantů gama jednotlivých složek o různé energii záření gama, připadajících v průměru na rozpad jednoho atomu radioaktivního isotopu, η_1, η_2, \dots značí účinnosti Geiger-Müllerova počítace pro jednotlivé složky záření gama, K_1, K_2, \dots jsou koeficienty charakterisující pohlcení složek záření gama ve stěně počítace, S_1, S_2, \dots jsou koeficienty charakterisující pohlcení jednotlivých složek v samotném radioaktivním přesídlidle, K_n , tak koeficienty S_n se dají stanovit z příslušných křivek.

Vedle poločasů rozpadu a hodnot energií charakterisujících záření beta za hod., které vysílá příslušný preparát o aktivitě 1 mc do vzdálenosti 1 m, tyto údaje jsou nejen důležité pro měrné účely, nýbrž i pro ochranu pracovníků před škodlivým zářením.⁵

V tabulkách uvedených v seznamu literatury pod 2, 3, 4, a 5 lze najít další radioisotopy vhodné pro použití v technice, na př. pro účely stopového autoradiografického.

Podele veličin uvedených v tabulkách, zvláště podle hodnoty poločasu a energie záření vysílaného příslušným radioisotopen, je možno posoudit jeho vhodnost pro zamýšlený účel použití.

⁵ Čs. příslušná norma č. 341 730 přípomístí maximální biologickou dávku 0,3 r za v Londýně roku 1950. Při tom 1 r = 1 reagent představuje mezinárodně definovanou dávku záření roentgenového nebo záření gama, která způsobí v 1 cm³ vzduchu náboj obojího znamení o velikosti 1 elektrostatické jednotky. Měří se speciálními ionizačními komůrkami. Dávka záření 1 r v těchto komůrkách vyvolá při plném využití sekundárních elektronů a při zapuštění účinku stěn takovou ionizaci ve vzduchu, že při nasycením proudu je komůrkou měřen náboj 1 elektrostatické jednotky.

Je při tom nutno ještě zdůraznit skutečnost, že práce s umělými radioisotopy je daleko hospodárnější než s přirodními radioaktivními látkami, neboť cena umělých radioaktivních isotopů je v některých případech desetkrát, ba dokonce až stočtát ménší než cena přirodních radioaktivních láttek.

LITERATURA

1. Nazarov S., Emploi des isotopes radioactifs pour la recherche des défauts dans les soudures et les pièces métalliques coulées, Conférence internationale des "Méthodes non déstructives", Bruxelles 23.-28. 5. 1955. 2. Seaborg G. T., Perlman I., Tablica atomových jader, Gos. Izdat. inosestr. lit., Moskva 1951. 3. Dzerepov B. S., Petrovič S., Tablica Physikalische Tabellen, Springer-Verlag, Berlin 1952. 5. Nesmějanov A. N., Lapickij A. V., Rudenko N. P., Pohledy radioaktivních izotopov, Goschimizdat, Moskva 1954. 6. Špolškij E. V., Atomová fyzika, Státní naklad. techn. literatury. I. díl, Praha 1952. II. díl, Praha 1954. 7. Grošev L. V., Šapiro I. S., Spektroskopie atomových jader, Gos. Izdat. techn. teor. lit., Moskva 1952. 8. Müller E. A. W., Anwendung künstlicher radioaktiver Isotope zur Zersetzungsfeiten Materialprüfung, Werkstatt und Betrieb 86, Roy. Soc. London 104, 1923, 255; 108, 1925, 187. 11. Bauschitz A. J., J. de Phys. mersefeld, Z. f. Naturforsch., 2a, 1947, 21, 370. 14. Atlas efektivních nejtvorných sestřených elementov, Izdat. AN SSSR, Moskva 1955. 15. Spicin V. I., Kodoligov P. N., Golutvin M. M., Kyzina A. F., Sokolova Z. A., Metody rady s pramenením radioaktivních indikátorov, Izdat. AN SSSR, Moskva 1955. 16. Rozkoš M., Acta radiologica et cancerologica Bohemoslovaca 8, 1954, 241. 17. Burtt B. P., Nucleonics 5, 1949, č. 2, 28. 18. Irerich P., Helvetica Physica Acta 26, 1953, 663. 19. Běhounek F., Čs. čas. fys. 4, 1954, 449. 20. Baranov V. I., Radiometria, Izdat. AN SSSR, Moskva 1955. 21. Petržílka V., Hlubinné listy 7, 1952, 285. 22. Chvorinov N., Jeníček L., Petržílka V., Hlubinné listy 7, 1952, 298. 23. Tomáš K., Petržílka V., Čs. čas. fys. 3, 1953, 399. 4, 1954, 446. 24. Rozkoš M., Petržílka V., Čs. čas. fys. 6, 1956, 287. 25. Siborg G., Perlman I., Cholender D. Ž., Tabloida Izotopov, Izdat. inosestr. lit., Petržílka V., Hlubinné listy 7, 1952, 298. 23. Tomáš K., Petržílka V., Čs. čas. fys. 3, 1953, 399. 4, 1954, 446. 24. Rozkoš M., Petržílka V., Čs. čas. fys. 6, 1956, 287. 26. Priměnění metoda měřených atomov v fize i technike, statěj, Izdat. inosestr. lit., Moskva 1955. 27. Rajskij S. M., Smirnov V. F., Fizika Sborník osnovy metoda radioaktivních indikátorov, Gosstechizdat, Moskva 1956. 28. Gusev N. G., Spravočník po radioaktivním zkušenostem i zařízení, MEDGIZ, Moskva 1956.

Došlo 10. 10. 1956.